

# 《磁力摆》实验报告

PB20061372 朱云沁 510 组

实验题目：磁力摆

实验目的：

研究小磁针在地磁场中的运动特征；测量局域地磁场水平分量、小磁针的磁矩和转动惯量；研究两个相同磁针的耦合运动规律。

实验原理：

将小磁针用细线悬挂于匀强磁场中，令其偏离平衡位置，角位移 $\theta$ 小于 $5^\circ$ ，忽略阻尼影响，则小磁针在磁力矩作用下作简谐振动，构成磁力摆。设磁力摆的磁矩为 $M$ ，转动惯量为 $J$ ，水平方向磁感应强度为 $B$ ，列写运动方程，求得一级近似下振动周期 $T$ 为

$$T = 2\pi \sqrt{\frac{J}{MB}} \quad (1)$$

亥姆霍兹线圈是一对彼此平行且连通的共轴圆形线圈组，若通以方向一致、大小为 $I$ 的电流，可以证明，两线圈轴线中点的磁感应强度 $B_I$ 为

$$B_I = kI \quad (2)$$

对 $B_I - I$ 曲线作线性拟合，从而求出 $k$ 。

地球本身及其周围空间存在磁场。为测量局域地磁场水平分量 $B_0$ ，将小磁针置于地磁场和亥姆霍兹线圈磁场的叠加中，当亥姆霍兹线圈磁场与地磁场水平方向相同（相反）时，轴线上磁场的水平分量为 $B = B_0 + B_I$ （ $B = |B_0 - B_I|$ ）。以 $B_0 < B_I$ 且方向相反的情况为例，由①②式，有

$$\frac{1}{T^2} = \frac{Mk}{4\pi^2 J} \left( I - \frac{B_0}{k} \right) \quad (3)$$

对 $\frac{1}{T^2} - I$ 曲线作线性拟合，得到横截距，从而求出 $B_0$ 。

为测量小磁针的转动惯量和磁矩，在其两端安装相同质量 $m$ 的配重螺帽。将配重螺帽视为质点，设其到质心的距离为 $r$ ，则小磁针和两个配重螺帽构成的系统的转动惯量为 $J + 2mr^2$ 。设未加配重时磁力摆的周期为 $T_0$ ，加配重后磁力摆的周期为 $T'$ ，由①式得

$$J = 2mr^2 \sqrt{\frac{T_0^2}{T'^2 - T_0^2}} \quad (4)$$

代入数据求出 $J$ ，进而根据③式斜率求出 $M$ 。

将两枚相同的小磁针沿地磁场水平方向共线放置，构成耦合振动系统。设其同相位共同运动的圆频率为 $\omega$ ，反相位共同运动的圆频率为 $\omega^*$ ，两个磁针之间的距离为 $L$ ，则耦合系数 $k' =$

$\alpha \frac{M^2}{L^\beta} = \frac{1}{2} |\omega^2 - \omega^{*2}|$ 。为确定 $\alpha$ 和 $\beta$ 的值，对该式取对数得

$$\ln k' = -\beta \ln L + \ln \alpha M^2 \quad (5)$$

对 $\ln k' - \ln L$ 曲线作线性拟合，得到斜率与纵截距，从而求出 $\alpha$ 和 $\beta$ 。

实验器材：

高灵敏度特斯拉计（量程 $0 \sim 3000 \text{ mT}$ ，分辨率 $0.01 \text{ mT}$ ），亥姆霍兹线圈，磁力摆 2 个，直流电源，配重螺帽 2 个（ $m = 0.62 \text{ g}$ ），米尺，秒表。

实验步骤：

- 1、将亥姆霍兹线圈通电，用特斯拉计测量亥姆霍兹线圈轴线中点的磁场 $B_I$ ，改变电流大小 $I$ ，记录 8 组数据。
- 2、将小磁针置于亥姆霍兹线圈中央，使亥姆霍兹线圈磁场与地磁场水平方向相反，用秒表测量磁力摆周期 $T$ ，改变电流大小 $I$ ，记录 8 组数据。
- 3、测量磁力摆在地磁场中的周期 $T_0$ ，安装配重螺帽，再次测量周期 $T'$ 。
- 4、令两个磁力摆构成耦合振动系统，测量同相位运动的圆频率 $\omega$ ，反相位运动的圆频率 $\omega^*$ ，改变两个磁针之间的距离 $L$ ，记录 6 组数据。
- 5、数据处理。

实验数据：

$I/\text{A}$	0.09952	0.19933	0.29912	0.39889	0.49871	0.59852	0.69826	0.79807
$B_I/\text{mT}$	0.48	0.98	1.49	1.99	2.49	2.99	3.49	3.99

表 1 亥姆霍兹线圈磁场与电流大小的关系-原始数据

$I/\text{A}$	0.00979	0.01977	0.02966	0.03969	0.04962	0.05959	0.06955	0.07955
$n$	40	60	70	70	70	70	70	70
$t/\text{s}$	60.41	53.32	48.19	40.42	35.52	32.64	29.08	27.52
$T/\text{s}$	1.5103	0.8887	0.6884	0.5774	0.5074	0.4663	0.4154	0.3931
$\frac{1}{T^2}/\text{s}^{-2}$	0.44	1.27	2.11	3.00	3.88	4.60	5.79	6.47

表 2 局域地磁场的测量-原始数据

	无配重	有配重
$n$	40	30
$t/\text{s}$	58.77	58.72
$2r/\text{cm}$	6.15	
$m/\text{g}$	0.62	

表 3 小磁针转动惯量和磁矩的测量-原始数据

$L/\text{cm}$	16.71	19.02	23.75	29.80	32.50	36.48
$n$	50	50	40	40	40	40
$t/\text{s}$	41.95	46.34	42.12	49.86	51.56	54.43
$t^*/\text{s}$	56.32	59.96	52.46	55.37	57.12	56.90

表 4 地磁场中耦合磁针运动的测量-原始数据

数据处理：

根据表 1 数据，作出 $B_I - I$ 散点图并线性拟合，结果如图 1 所示。

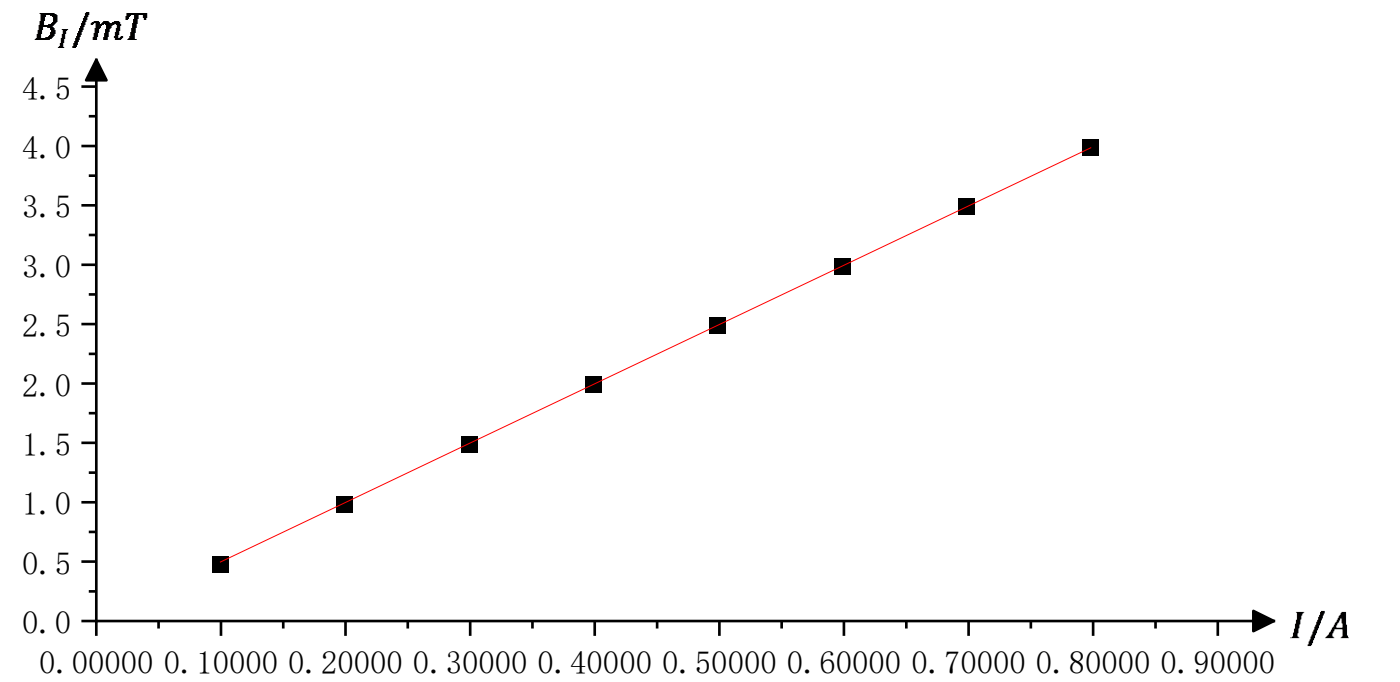


图 1  $B_I - I$ 散点图及其线性拟合

使用最小二乘法计算，结合②式，斜率 $k$ 为

$$k = \frac{\overline{IB_I} - \bar{I} \cdot \overline{B_I}}{\overline{I^2} - \bar{I}^2} = 4.99359 \text{mT/A}$$

故亥姆霍兹线圈轴线中点的磁场 $B_I$ 与电流大小 $I$ 的关系为

$$B_I = 4.99 \times 10^{-3} \cdot I \text{ (T)}$$

由于 $t = nT$ ，计算出表 2 各组 $T$ 和 $\frac{1}{T^2}$ 的值，记录在其中。根据表 2 数据，作出 $\frac{1}{T^2} - I$ 散点图并做线性拟合，结果如图 2 所示。

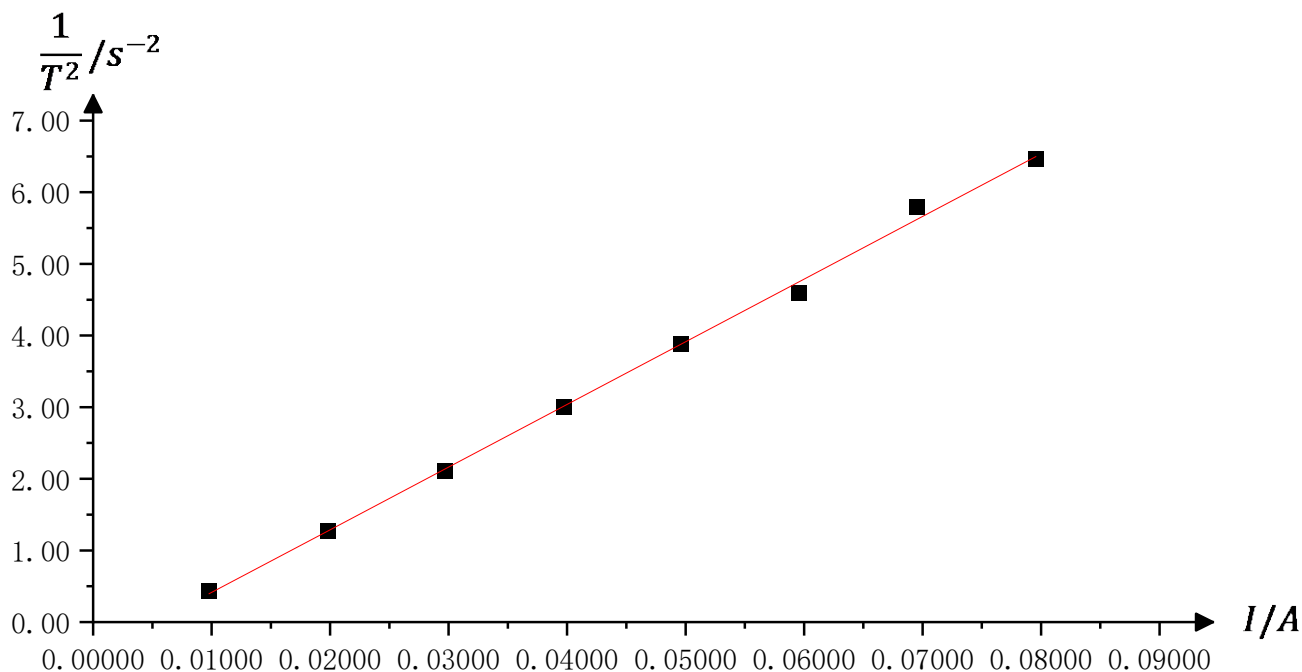


图 2  $\frac{1}{T^2} - I$ 散点图及其线性拟合

使用最小二乘法计算，结合③式，斜率 $\frac{Mk}{4\pi^2 J}$ 和横截距 $\frac{B_0}{k}$ 分别为

$$\frac{Mk}{4\pi^2 J} = \frac{\overline{I \frac{1}{T^2}} - \bar{I} \cdot \overline{\frac{1}{T^2}}}{\overline{I^2} - \bar{I}^2} = 87.47773 \text{A}^{-1} \cdot \text{s}^{-2}$$

$$\frac{B_0}{k} = \bar{I} - \frac{\overline{\frac{1}{T^2}}}{\frac{Mk}{4\pi^2 J}} = 0.005269 \text{A}$$

进而得 $B_0$ 为

$$B_0 = \frac{B_0}{k} \cdot k = 0.005269 \cdot 4.99359 \text{mT} = 0.02631 \text{mT}$$

故局域地磁场水平分量 $B_0$ 的测量结果为

$$B_0 = 2.6 \times 10^{-5} \text{T}$$

根据表 3 数据，计算出未加配重时磁力摆的周期 $T_0$ 、加配重后磁力摆的周期 $T'$ 、配重到质心的距离 $r$ 分别为

$$T_0 = \frac{58.77}{40} \text{s} = 1.46925 \text{s}, \quad T' = \frac{58.72}{30} \text{s} = 1.95733 \text{s}, \quad r = \frac{6.15}{2} \text{cm} = 3.075 \text{cm}$$

代入④式，求得 $J$ 为

$$J = 2mr^2 \sqrt{\frac{T_0^2}{T'^2 - T_0^2}} = 2 \times 0.62 \times 10^{-3} \times (3.075 \times 10^{-2})^2 \times \sqrt{\frac{1.46925^2}{1.95733^2 - 1.46925^2}} \text{kg} \cdot \text{m}^2 = 1.3312 \times 10^{-6} \text{kg} \cdot \text{m}^2$$

故磁力摆转动惯量 $J$ 的测量结果为

$$J = 1.33 \times 10^{-6} \text{kg} \cdot \text{m}^2$$

进而得 $M$ 为

$$M = \frac{\frac{Mk}{4\pi^2 J} \cdot 4\pi^2 \cdot J}{k} = \frac{87.47773 \times 4\pi^2 \times 1.3312 \times 10^{-6}}{4.99359 \times 10^{-3}} \text{A} \cdot \text{m}^2 = 0.92062 \text{A} \cdot \text{m}^2$$

故磁力摆磁矩 $M$ 的测量结果为

$$M = 0.92 \text{A} \cdot \text{m}^2$$

由于 $k' = \frac{1}{2} \left| \left( \frac{2\pi n}{t} \right)^2 - \left( \frac{2\pi n}{t^*} \right)^2 \right|$ ，计算出表 4 各组 $\ln L$ 和 $\ln k'$ 的值，记录在下表中。

$\ln L$	-1.7892	-1.6597	-1.4376	-1.2107	-1.1239	-1.0084
$\ln k'$	2.5245	2.2251	1.8450	0.8776	0.7884	-0.0958

作出 $\ln L - \ln k'$ 散点图并做线性拟合，结果如图 3 所示。

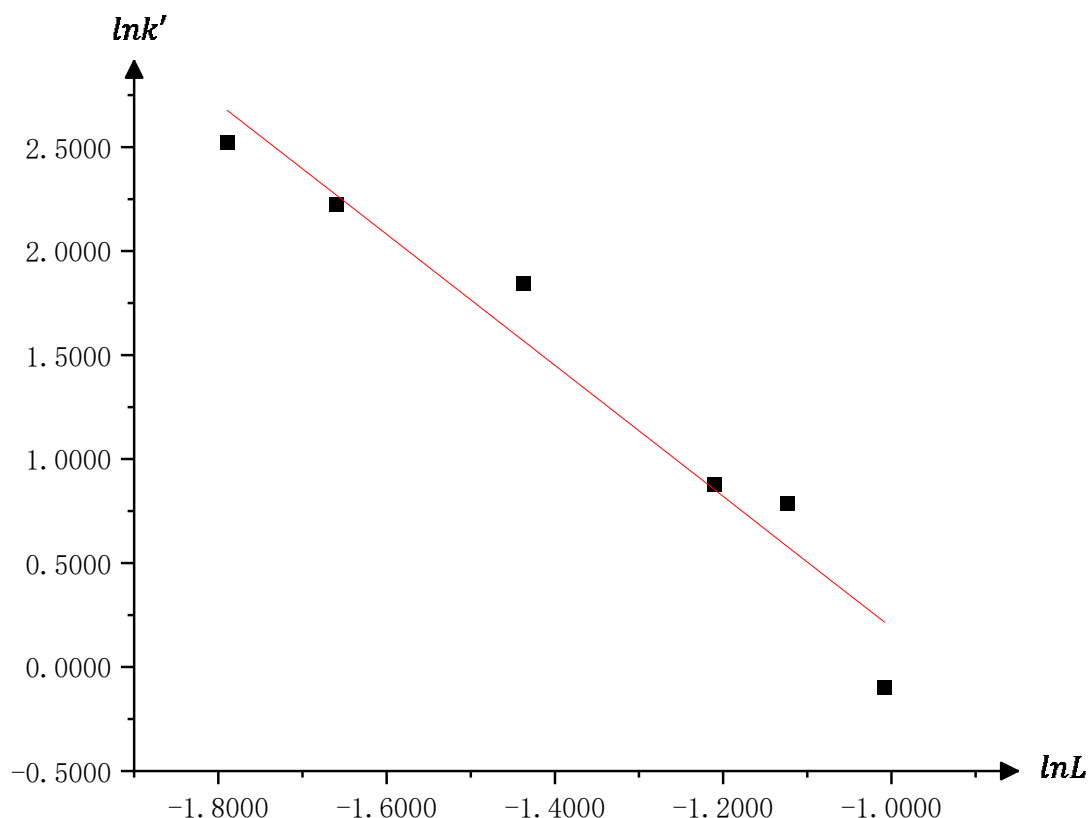


图 3  $\ln L - \ln k'$ 散点图及其线性拟合

使用最小二乘法计算，结合⑤式，斜率 $-\beta$ 和截距 $\ln \alpha M^2$ 分别为

$$-\beta = \frac{\overline{\ln L \cdot \ln k'} - \overline{\ln L} \cdot \overline{\ln k'}}{\overline{\ln L^2} - \overline{\ln L}^2} = -3.15151$$

$$\ln \alpha M^2 = \overline{\ln k'} - (-\beta) \cdot \overline{\ln L} = -2.96173$$

进而求得 $\alpha$ 、 $\beta$ 分别为

$$\alpha = \frac{e^{\ln \alpha M^2}}{M^2} = \frac{e^{-2.96173}}{0.92062} = 0.06103$$

$$\beta = -(-\beta) = -(-3.15151) = 3.15151$$

故 $\alpha$ 、 $\beta$ 的测量结果分别为

$$\alpha = 0.06$$

$$\beta = 3.15$$

### 思考题:

#### 1、如何利用作图法或最小二乘法求得局域地磁场的水平分量？

答：首先，选取适当电流范围和正整数 $n$ ，测量不同电流 $I$ 下磁力摆的 $n$ 个周期 $T$ ，计算得出各组 $\frac{1}{T^2}$ 。然后，以 $\frac{1}{T^2}$ 为纵坐标，电流 $I$ 为横坐标作图，利用外推计算 $\frac{1}{T^2} \rightarrow 0$ 时的电流 $I_0$ ，此时线圈磁场与局域磁场水平分量完全抵消，故有 $B_0 = kI_0$ ；若利用最小二乘法，根据③式，有

$$\frac{4\pi^2 Mk}{J} = \frac{\overline{\frac{1}{T^2}} - \bar{I} \cdot \frac{1}{T^2}}{\bar{I}^2 - \bar{I}^2}, \quad \frac{B_0}{k} = \bar{I} - \frac{\frac{1}{T^2}}{\frac{4\pi^2 Mk}{J}}, \text{ 计算得 } B_0。$$

#### 2、说明两小磁针耦合运动“拍频”与哪些物理量有关？

答：将磁针视作磁偶极子，设两小磁针磁矩方向与外磁场水平方向的夹角分别为 $\theta_1$ 、 $\theta_2$ ，，列写耦合振动系统的运动方程：

$$\begin{cases} \frac{d^2\theta_1}{dt^2} = -\frac{\mu_0 M^2}{4\pi J L^3} (2\theta_1 + \theta_2) - \frac{MB_0}{J} \theta_1 \\ \frac{d^2\theta_2}{dt^2} = -\frac{\mu_0 M^2}{4\pi J L^3} (2\theta_2 + \theta_1) - \frac{MB_0}{J} \theta_2 \end{cases}$$

同相位振动时，方程组的解为 $\omega = \sqrt{\frac{MB_0}{J} + \frac{3\mu_0 M^2}{4\pi J L^3}}$ ，反相位振动时，方程组的解为 $\omega^* =$

$\sqrt{\frac{MB_0}{J} + \frac{\mu_0 M^2}{4\pi J L^3}}$ 。则拍频的表达式为

$$f = \frac{\sqrt{\frac{MB_0}{J} + \frac{3\mu_0 M^2}{4\pi J L^3}} - \sqrt{\frac{MB_0}{J} + \frac{\mu_0 M^2}{4\pi J L^3}}}{2\pi}$$

故拍频 $f$ 与磁针的磁矩 $M$ 、磁针的转动惯量 $J$ 、外磁场水平分量 $B_0$ 、两磁针间的距离 $L$ 有关。

#### 3、实验内容中出现的问题：

##### 1) 如何判断线圈附加磁场与局域磁场是反向还是同向。

答：若线圈附加磁场与局域磁场同向，则此时磁针振动频率大于无附加磁场时的频率，亥姆霍兹线圈电流越大，频率越大；若线圈附加磁场与局域磁场反向，则频率先随电流增大而减小，而后小磁针指向翻转，频率随电流增大而增大（本实验中仅后半过程）。

##### 2) 请比较 $\omega$ 、 $\omega^*$ 、 $\omega_0$ 的大小。

答： $\omega > \omega^* > \omega_0$ 。

##### 3) 改变两个磁针之间的距离，观察拍频随 $L$ 的增加如何变化？

答：变小。